

ФЕДЕРАЛЬНОЕ ГОСУДАРСТВЕННОЕ БЮДЖЕТНОЕ  
ОБРАЗОВАТЕЛЬНОЕ УЧРЕЖДЕНИЕ ВЫСШЕГО ОБРАЗОВАНИЯ  
«САНКТ-ПЕТЕРБУРГСКИЙ ГОСУДАРСТВЕННЫЙ УНИВЕРСИТЕТ»  
(СПбГУ)

Кафедра статистической физики



**Евдокимов Даниил Александрович**

**Выпускная квалификационная работа:**

**Использование  $d-1$  разложения при вычислении динамического  
критического индекса  $A$ -модели**

Уровень образования: бакалавриат:

Направление: 03.03.02 «Физика»

Основная образовательная программа: СВ.5011.2017 «Физика»

Научный руководитель:

профессор,

кафедра Статистической физики, д.ф.-м.н., проф.

**Аджемян Л.Ц.**

Рецензент:

профессор,

кафедра Физики высоких энергий и элементарных частиц,

д.ф.-м.н.

**Антонов Н.В.**

Санкт-Петербург

2021

# Содержание

<b>1</b>	<b>Введение</b>	<b>2</b>
<b>2</b>	<b>Аппроксимация Паде</b>	<b>3</b>
<b>3</b>	<b>Аппроксимация Паде с учетом <math>\varepsilon' = d-1</math> разложения</b>	<b>4</b>
<b>4</b>	<b>Конформ-борелевское пересуммирование</b>	<b>6</b>
4.1	Общий алгоритм . . . . .	6
4.2	Критерий сходимости . . . . .	7
4.3	Свободное граничное условие . . . . .	9
<b>5</b>	<b>Пересуммирование с использованием статического индекса Фишера</b>	<b>12</b>
<b>6</b>	<b>Обсуждение результатов. Заключение</b>	<b>13</b>

Предметом исследования данной дипломной работы является учет  $d - 1$  разложения при расчете динамического критического индекса  $z$  для  $A$  модели.

## 1 Введение

Фазовые переходы второго рода и критические явления характеризуются аномальным возрастанием радиуса корреляции  $r_c$ , который при приближении температуры  $T$  к критической  $T_c$  растет степенным образом  $r_c \sim |\tau|^{-\nu}$ ,  $\tau = (T - T_c)/T_c$ , а также явлением критического замедления – аномальным возрастанием времени релаксации

$$t_c \sim r_c^z$$

Целью настоящей работы является нахождение индекса  $z$  в рамках так называемой модели  $A$  критической динамики, описывающей критическую точку ферромагнетика с несохраняющимся параметром порядка. Метод ренормгруппы позволяет вычислять критические показатели в виде разложений по параметру

$$\varepsilon = 4 - d, \quad (1)$$

где  $d$  – размерность пространства. Сложность расчета динамических индексов значительно превышает сложность расчета статических, таких как  $\nu$ . Для индекса  $z$  в настоящее время известно 5 членов  $\varepsilon$ -разложения [1]:

$$\begin{aligned} z(\varepsilon, n) = & 2 + \varepsilon^2 \frac{(2+n)}{2(8+n)^2} (6 \log[4/3] - 1) + \varepsilon^3 \frac{(2+n)}{8(8+n)^4} (162.4619 + 31.90236n - 1.273517n^2) + \\ & + \varepsilon^4 \frac{(2+n)}{32(8+n)^6} (-23752.4 - 6929.0n - 770.28n^2 - 170.470n^3 - 4.24423n^4) + \varepsilon^5 \frac{(2+n)}{128(8+n)^8} \cdot \\ & \cdot (1.986 \cdot 10^7 + 1.038 \cdot 10^7 n + 2.15 \cdot 10^6 n^2 + 1.92 \cdot 10^5 n^3 + 3.8 \cdot 10^3 n^4 - 626n^5 + 7.5005n^6) \end{aligned} \quad (2)$$

Здесь  $n$  – число компонент параметра порядка, мы будем рассматривать случай  $n = 1$ , для которого

$$z = 2 + 0.0134461561\varepsilon^2 + 0.0110367\varepsilon^3 - 0.0055791\varepsilon^4 + 0.01773\varepsilon^5 + O(\varepsilon^6). \quad (3)$$

Ряды  $\varepsilon$ -разложения являются асимптотическими, поэтому, как правило, непосредственная подстановка в них реальных значений  $\varepsilon = 1$  и  $\varepsilon = 2$  для трехмерных и двумерных систем не дает надежных результатов. При наличии достаточного числа членов разложения ряды можно пересуммировать. В некоторых случаях удается получить удовлетворительный результат, если воспользоваться дополнительной информацией о величине  $z$ . Так, после вычисления в работе [2] коэффициента при  $\varepsilon^2$ , в работе [3] был получен начальный отрезок ряда для разложения индекса  $z$  по параметру  $\varepsilon' = d - 1$ :

$$z = 2 + \varepsilon' - \varepsilon'^2/2 + O(\varepsilon'^3). \quad (4)$$

Это позволило авторам работы [3], используя имеющуюся информацию, построить Паде-аппроксимацию вида

$$z - 2 = \frac{(d-1)(4-d)^2}{c_0 + c_1 d + c_2 d^2}, \quad (5)$$

определив коэффициенты  $c_i$  из условия совпадения с известными коэффициентами разложений (2), (4). Это значительно улучшило согласие с имеющимися численными расчетами индекса  $z$ . Аналитический расчет коэффициента при  $\varepsilon^3$  в разложении (2) проведен в работе [4]. Коэффициент при  $\varepsilon^4$  был численно рассчитан в работе [5] и затем, с большей точностью, в работе [6]. Знание четырех членов разложения позволило провести конформ-боррелевское суммирование ряда [7]. В работе [8] это разложение, совместно с разложением (4) было использовано для построения Паде-аппроксимации вида (5), с дополнительным полиномом первого порядка в числителе и дополнительным слагаемым  $\sim d^3$  в знаменателе. Все это позволило значительно увеличить точность расчета индекса  $z$  при  $d = 3$  и  $d = 2$ .

В настоящей работе мы используем недавно полученное выражение для пятого члена разложения в (3) для дальнейшего уточнения результатов. Будет применена модифицированная техника конформ-боррелевского пересуммирования с учетом асимптотики сильной связи. Будут найдены Паде-аппроксимации – как непосредственно для ряда (2), так и с учетом разложения (4).

## 2 Аппроксимация Паде

Наиболее простым и широко применяемым способом получения оценок для величин, представленных в виде начального отрезка их асимптотического ряда, является аппроксимация Паде. В отличие от метода борелевского пересуммирования, который будет рассмотрен далее в Главе 4, он позволяет получить физические ответы даже в случае малого числа известных коэффициентов разложения, а также не требует знания их асимптотических свойств. В данной главе аппроксимация Паде будет применена для получения значения индекса  $z$  по пяти членам его  $\varepsilon$ -разложения (3).

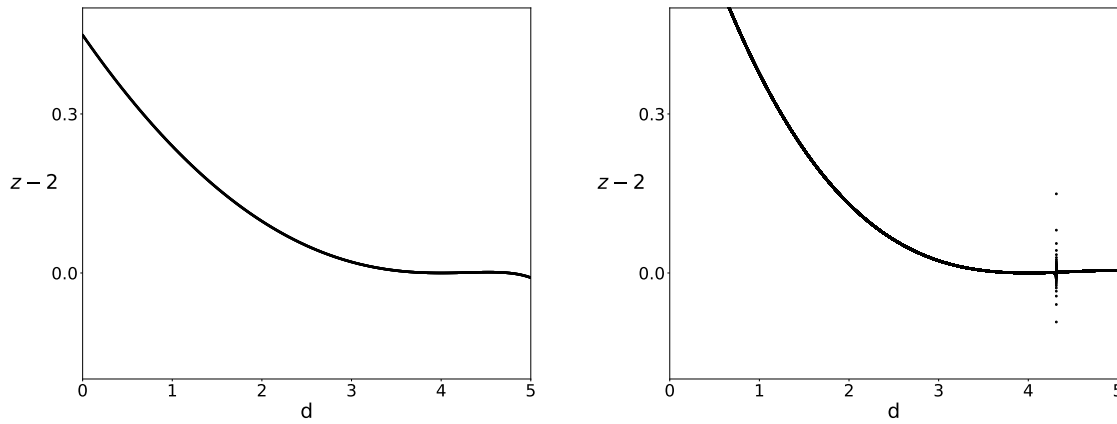
Пусть известны первые  $N$  коэффициентов разложения  $f_n$  в ряд функции  $f(x)$ . Аппроксимацией Паде  $[L/M]$  такой функции будет называться отношение двух полиномов, суммарная степень  $L + M$  которых равняется  $N$ . Их коэффициенты ищутся из условия равенства разложений аппроксимации и исходной функции вплоть до порядка  $O(x^{N+1})$ :

$$f(x) = \frac{P^{(L)}(x)}{Q^{(M)}(x)} = \frac{\sum_{n=0}^L p_n x^n}{\sum_{n=0}^M q_n x^n} = \sum_{n=0}^{N-1} f_n x^n + O(x^N). \quad (6)$$

Здесь полагаем  $q_0 = 1$ . Перебирая различные комбинации степеней полиномов  $L$  и  $M$ , можно получить различные аппроксимации, которые при подстановке в них интересующего значения  $\varepsilon$  и будут давать пересуммированное значение индекса  $z$ . Так как первые два члена разложения  $z - 2$  (3) равны нулю, то аппроксимацию Паде можно записать в виде:

$$z - 2 \approx (4 - d)^2 \frac{P^{(L)}(d)}{Q^{(M)}(d)}, \quad L + M = 3. \quad (7)$$

Полученные аппроксиманты будут иметь полюса в нулях знаменателя. Наличие полюсов существенно влияет на качество аппроксимаций, поэтому следует обговорить критерий их отбора. Интересующие нас размерности лежат в интервале  $d \in [1; 4]$ . Наличие полюса в этой области приводит к сильному искажению результатов, поэтому подобные аппроксимации не принимаются к рассмотрению. Наличие особенности в непосредственной близости к интервалу  $[1; 4]$  также может вносить существенную погрешность, однако в этом случае нельзя выделить однозначное правило отбора. Как показывает практика, зачастую полюса правее 4 не оказывают значительного влияния на качество аппроксимации в силу того, что нули числителя и знаменателя находятся очень близко, и полюс почти "сокращается". На Рис.1 приведены графики аппроксимаций  $[1/1]$  для учета 4 членов и  $[2/1]$  для 5 членов. Остальные варианты были откинута из-за наличия "опасных" полюсов. Примеры подобных аппроксимаций приведены на Рис.2.



(а) Паде  $[1/1]$  по четырем членам

(б) Паде  $[2/1]$  по пяти членам

Рис. 1: Графики учтенных Паде аппроксимаций без "опасных" полюсов

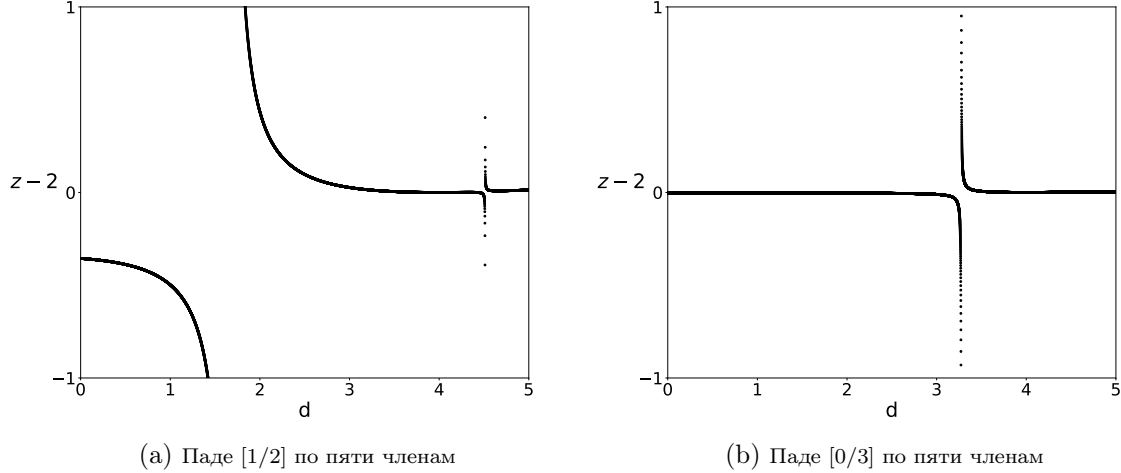


Рис. 2: Примеры неучетных аппроксимаций

Так как известны только 5 членов  $\varepsilon$ -разложения индекса  $z$ , причем первый коэффициент равен нулю, то для 4 и 5 порядка остается пять возможных аппроксимаций:  $[0/2]$ ,  $[1/1]$ ,  $[0/3]$ ,  $[1/2]$ , и  $[2/1]$ . Из них только две оказываются пригодными для использования (Таблица 1), что не позволяет набрать выборку и оценить погрешность результатов. Для увеличения точности можно учитывать дополнительную информацию об индексе  $z$ , такую как его  $\varepsilon'$ -разложение в Главе 3 или асимптотику коэффициентов  $\varepsilon$ -разложения методом борелевского пересуммирования в Главе 4.

	[1/1]	[2/1]
$d = 2$	2.0980	2.1300
$d = 3$	2.0208	2.0231

Таблица 1: Значения индекса  $z$ , полученные Паде аппроксимацией  $\varepsilon$ -разложения

### 3 Аппроксимация Паде с учетом $\varepsilon' = d-1$ разложения

Следуя идее, предложенной в работе [3], вместе с  $\varepsilon$ -разложением (3) используем два известных коэффициента  $\varepsilon'$ -разложения (4) в качестве дополнительной информации для улучшения оценки индекса  $z$ . Метод аппроксимаций Паде позволяет симметрично учесть оба разложения, добавив два новых условия на коэффициенты. Суммарная степень полиномов также увеличится на два, что позволит учесть большее количество аппроксимаций. Теперь индекс  $z$  можно представить как

$$z - 2 \approx (4 - d)^2(d - 1) \frac{P^{(L)}(d)}{Q^{(M)}(d)}, \quad L + M = 5. \quad (8)$$

Правило отбора аппроксимаций по наличию полюсов остается аналогичным описанному в предыдущей главе. На Рис. 3 приведен график учтенной аппроксимации  $[2/3]$ , на котором наглядно видна зависимость индекса  $z$  от размерности пространства. Он имеет два нуля в точках  $d = 1$  и  $d = 4$ , между этими значениями имеется максимум.

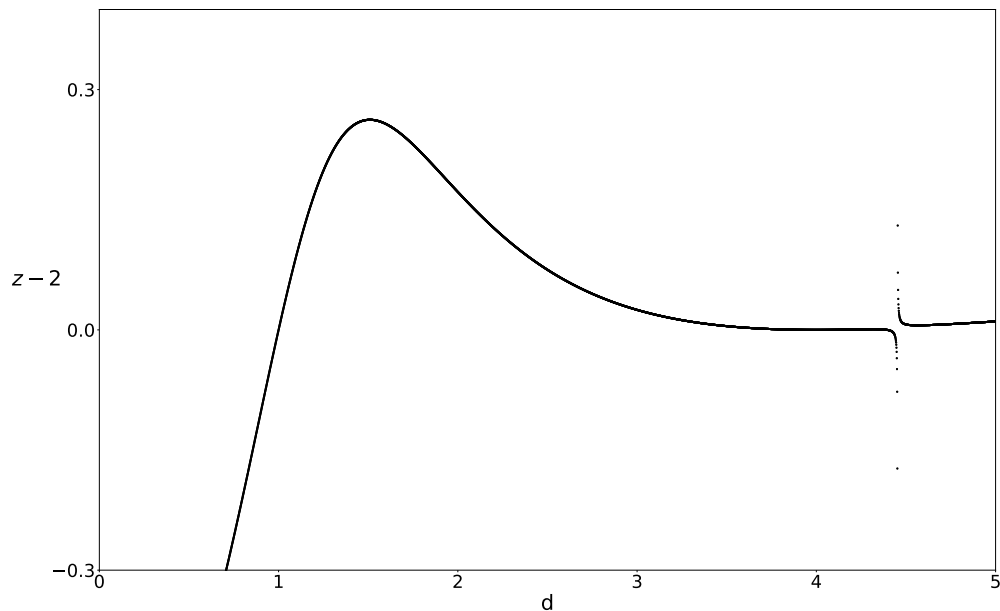


Рис. 3: Учетная аппроксимация  $[2/3]$

В Таблице 2 приведены значения индекса  $z$ , полученные как результат аппроксимаций Паде для разного количества учтенных членов  $\varepsilon$ -разложения вместе с двумя учтенными членами  $\varepsilon'$ -разложения. Несмотря на увеличившееся число возможных аппроксимаций, многие из них были откинута из-за наличия "опасных" полюсов. Так, только в одном порядке было учтено больше одной аппроксимации - при учете всех возможных членов разложения. Как и при пересуммировании только по  $\varepsilon$ -разложению в предыдущей главе, это не позволяет сформировать выборку и оценить погрешность полученных значений. Однако можно сказать, что учет  $\varepsilon'$ -разложения заметно приближает оценку индекса  $z$  к значениям, полученным в других работах, что свидетельствует о его эффективности. Подробное сравнение результатов будет приведено в Главе 6.

Число учтенных членов $\varepsilon$ -разложения	2	3	4	5	
	$[0/2]$	$[1/2]$	$[1/3]$	$[1/4]$	$[2/3]$
d=2	2.1260	2.2060	2.1520	2.1820	2.1720
d=3	2.0194	2.0286	2.0235	2.0252	2.0250

Таблица 2: Значения индекса  $z$ , полученные Паде аппроксимацией нескольких членов  $\varepsilon$ -разложения и двух членов  $\varepsilon'$ -разложения.

## 4 Конформ-борелевское пересуммирование

### 4.1 Общий алгоритм

Частные суммы асимптотических рядов сходятся к значению вычисляемой величины до тех пор, пока члены ряда убывают. Несмотря на то, что формально  $\varepsilon$  является малым параметром разложения, в данной работе будут рассматриваться значения  $\varepsilon = \{1, 2, 3\}$ , отвечающие интересующим нас размерностям  $d = \{3, 2, 1\}$  соответственно. Но коэффициенты разложения рассматриваемых рядов растут факториально, поэтому убывание членов ряда заканчивается на члене с небольшим, а иногда и первым, номером. Это является причиной невозможности получения точных результатов путем прямой подстановки значения  $\varepsilon$  в известный отрезок ряда [9].

Широко распространенным методом повышения точности результатов является борелевское пересуммирование. К его преимуществам относится возможность учета асимптотических свойств ряда, если таковые известны. Ниже приводится алгоритм построения конформ-борелевского представления и его модификация путем учета граничного условия.

Рассмотрим функцию  $A(\varepsilon)$ , для которой известны первые  $N$  коэффициентов разложения:

$$A(\varepsilon) = \sum_{n=0}^{\infty} A_n \varepsilon^n, \quad (9)$$

Также считаем известными коэффициенты  $a$  и  $b$  асимптотики высоких порядков (АВП) и показатель степени асимптотики сильной связи  $\nu$ :

$$A_n \xrightarrow[n \rightarrow \infty]{} cn!n^{b_0}(-a)^n \quad (10)$$

$$A(\varepsilon) \underset{\varepsilon \rightarrow \infty}{\sim} \varepsilon^\nu. \quad (11)$$

Перейдем к борелевским коэффициентам разложения  $B^{(N)} = A^N / \Gamma(N + b + 1)$ , которые уже не обладают факториальным ростом. Тогда борелевское представление исходного ряда можно записать как

$$\sum_n A_n \varepsilon^n = \sum_n \Gamma(n + b + 1) B_n \varepsilon^n = \int_0^\infty dt e^{-t} t^b \sum_n B_n (\varepsilon t)^n = \int_0^\infty dt e^{-t} t^b F(\varepsilon t). \quad (12)$$

Функция  $F(\varepsilon t)$  имеет конечный радиус сходимости, равный  $1/a$ . Это не позволяет провести интегрирование по положительной оси, что ставит задачу об аналитическом продолжении функции  $F(\varepsilon t)$ . Существует два способа решения этой проблемы: метод Паде-Борель-Леруа и метод конформ-Бореля. Первый основан на аппроксимации функции  $F(\varepsilon t)$  полиномами Паде. Его характерной особенностью является использование параметра  $b$  не как коэффициента АВП, а как варьируемого подгоночного параметра, выбираемого из условия минимизации сверднеквадратичного отклонения для результатов, полученных с помощью различных аппроксимантов Паде. Данный метод был применен для пересуммирования индекса  $z$ , обсуждаемого в данной работе. Однако для этого случая оказалось невозможным выбрать оптимальное значение  $b$ , поэтому далее этот метод рассматриваться не будет. Метод конформ-Бореля основан на использовании отображения комплексной плоскости. Для этого введем конформную переменную  $w(\varepsilon t)$  и выразим через нее переменную интегрирования  $t$ :

$$w(\varepsilon t) = \frac{\sqrt{1 + a\varepsilon t} - 1}{\sqrt{1 + a\varepsilon t} + 1} \quad (13)$$

$$\varepsilon t(\omega) = \frac{4\omega}{a(\omega - 1)^2} \quad (14)$$

Тогда выражение (12) можно переписать как

$$\int_0^{\infty} dt e^{-t} t^b \left(\frac{\varepsilon t}{w(\varepsilon t)}\right)^{\nu} \sum_n B_n^{(\omega)} \omega^n. \quad (15)$$

Здесь  $B_n^{(\omega)}$  - это новые коэффициенты, полученные путем переразложения функции  $F(\varepsilon t)$  по переменной  $\omega$ . Введенный множитель  $(\varepsilon t/w(\varepsilon t))^{\nu}$  отвечает за учет асимптотики сильной связи (11), что способствует уточнению результатов. Примененное конформное отображение переводит положительную ось на отрезок  $[0; 1)$ , радиус сходимости теперь равен единице. Таким образом, контур интегрирования лежит внутри круга сходимости. Первые  $N$  коэффициентов разложения полученного выражения (15) по  $\varepsilon$  совпадают с известными коэффициентами исходной функции (9). Коэффициенты АВП представления (15) совпадают с исходными (10) при следующем выборе  $b$ :

$$b = b_0 + \frac{3}{2}. \quad (16)$$

Описанный метод конформ-Бореля позволяет путем численного интегрирования выражения (15) получить пересуммированное значение, которое унаследует асимптотические свойства исходного ряда.

## 4.2 Критерий сходимости

Исследуется ряд для критического индекса  $z$ , в которого известны первые 5 членов разложения (3). Параметры АВП для данной модели были получены в работе [10]:

$$a = \frac{1}{3}, \quad b_0 = \frac{7}{2}. \quad (17)$$

Для этого ряда можно провести процедуру конформ-борелевского пересуммирования. Учет параметра асимптотики сильной связи  $\nu$  заметно улучшает точность пересуммированных результатов, однако для рассматриваемой динамической А модели его значение неизвестно. В работе [1] было предложено использовать  $\nu$  в качестве подгоночного параметра. Критерием отбора является скорость сходимости пересуммированных результатов при последовательном учете известных членов разложения. На Рис.4 показана зависимость борелевского представления вида (15) в точке  $\varepsilon = 1$  от числа учтенных членов разложения  $N$  при различных значениях параметра  $\nu$ , которым соответствуют разные линии.

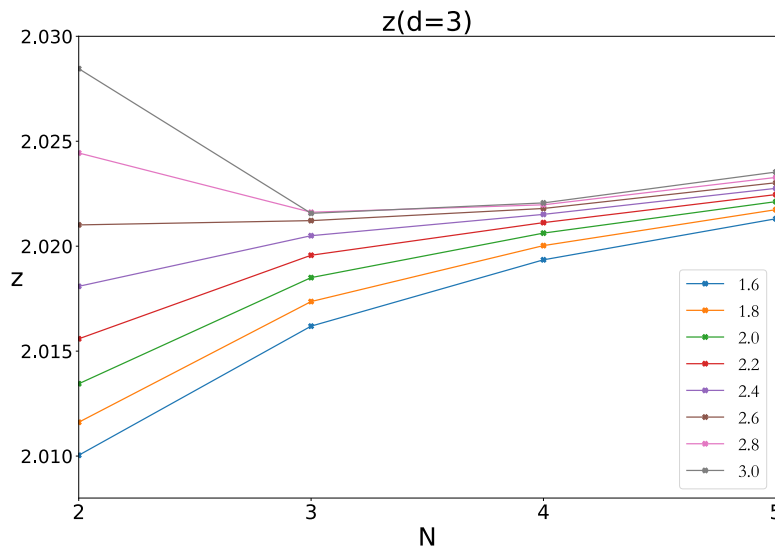


Рис. 4: Значение пересуммированного ряда при различных  $N$  и  $\nu$ .

График показывает тенденцию сходимости результатов вычислений к определенному предельному значению по мере увеличения числа учтенных членов разложения. Оптимальным  $\nu$  будем считать такое, которое обеспечивает лучшую сходимость к этому значению при меньшем числе учтенных членов. Это соответствует наискорейшему уменьшению угла наклона прямой при увеличении  $N$ . Для формализации критерия сходимости запишем уравнение прямой, проходящей через точки  $z^{(4)}$  и  $z^{(5)}$  четырехпетлевого и пятипетлевого приближения в виде

$$z(n) = a(\nu)(n - 5) + b(\nu), \quad (18)$$

где

$$a(\nu) = z^{(5)} - z^{(4)}, \quad b(\nu) = z^{(5)}. \quad (19)$$

Максимальной плотности поля прямых (18) соответствуют наименьшие значения производных  $\partial_\nu a$  и  $\partial_\nu b$ . Поэтому в качестве критерия сходимости можно выбрать требование минимума величины

$$Q = \sqrt{(\partial_\nu a)^2 + (\partial_\nu b)^2 + a^2}. \quad (20)$$

В критерий было введено третье слагаемое, отвечающее разности значений при учете последнего и предпоследнего члена. Строго говоря, оно не входит в уравнение прямой (18), и было выбрано из соображений более точного соответствия  $\nu$ , определенного по критерию, с наискорейшей сходимостью по графику. Вопрос выбора универсального критерия остается открытым, и, как показывает практика работы с другими рядами, он требует корректировки для каждого конкретного случая.

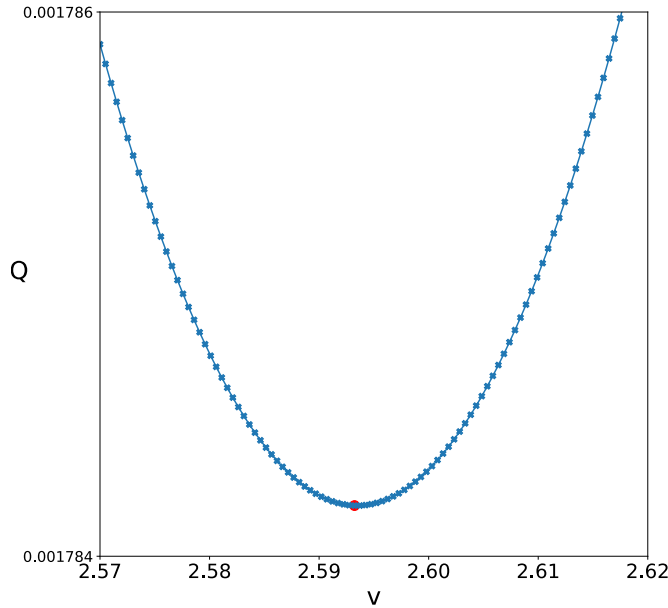


Рис. 5: Критерий сходимости по  $\nu$ .

На Рис.5 приведен график зависимости критерия  $Q$  от значения  $\nu$ . Он имеет минимум при  $\nu = 2.593$ , что соответствует наилучшей сходимости процедуры пересуммирования. Для построения подобных кривых были использованы значения  $\varepsilon = \{1, 1.5, 2\}$ , при этом минимум критерия в каждом случае будет соответствовать различным оптимальным  $\nu$ . Далее, с использованием полученных значений  $\nu$  был пересуммирован ряд для индекса  $z$  в точках  $\varepsilon = \{1, 2\}$  с учетом четырех и пяти членов разложения, и проведено усреднение. Точность определения оптимального  $\nu$  во всех случаях постоянна и равна  $\pm 0.003$ . Пересуммированные значения оказываются устойчивыми относительно малых изменений  $\nu$ , и соответствующая погрешность является незначительной. Полученные результаты приведены в таблице 3.

точка счета критерия	точка пересуммирования	число учтенных членов $\varepsilon$ -разложения	
		4	5
$d = 2.0$	$d = 2$	2.1148 [2.847]	2.1227 [2.409]
	$d = 3$	2.0220 [2.847]	2.0228 [2.409]
$d = 2.5$	$d = 2$	2.1148 [2.846]	2.1248 [2.498]
	$d = 3$	2.0220 [2.846]	2.0229 [2.498]
$d = 3.0$	$d = 2$	2.1148 [2.487]	2.1270 [2.593]
	$d = 3$	2.0220 [2.487]	2.0230 [2.593]
Усредненные результаты	$d = 2$	<b>2.1148</b>	<b>2.1248</b>
	$d = 3$	<b>2.0220</b>	<b>2.0229</b>

Таблица 3: Результаты конформ-борелевского пересуммирования индекса  $z$  в четырех- и пятипетлевом приближении с учетом параметра сильной связи  $\nu$ , найденного из условия минимума критерия сходимости (его значение указано в квадратных скобках).

### 4.3 Свободное граничное условие

В работе [11] при расчете статических индексов модели  $\phi^4$  было предложено использовать их известные значения в  $d = 2$  для повышения точности процедуры пересуммирования. Ниже описан способ учета граничного значения.

Рассмотрим функцию  $A(\varepsilon)$ , для которой известны первые  $N$  коэффициентов разложения

$$f(\varepsilon) = \sum_{n=0}^{\infty} f_n \varepsilon^n, \quad (21)$$

и ее точное значение в некоторой точке  $\varepsilon_b$ . Тогда функцию можно представить как

$$f(\varepsilon) = f_b + (\varepsilon_b - \varepsilon)A(\varepsilon), \quad (22)$$

где

$$f_b = f(\varepsilon_b), \quad A(\varepsilon) = \frac{f(\varepsilon) - f_b}{\varepsilon_b - \varepsilon} = \sum_{n=0}^{\infty} A_n \varepsilon^n. \quad (23)$$

По известным коэффициентам  $f_n$  находятся коэффициенты нового ряда  $A_n$ . Так как параметры АВП  $a$  и  $b_0$  для  $f_n$  и  $A_n$  совпадают, то возможно провести пересуммирование ряда  $A(\varepsilon)$ , в котором зашита информация о значении в граничной точке, а затем по формуле (22) получить пересуммированное значение исходной функции  $f(\varepsilon)$ .

Однако для рассматриваемого в данной работе динамического индекса  $z$  точное значение в какой-либо размерности пространства неизвестно. Мы воспользуемся идеей, предложенной в работе [1], согласно которой значение в некоторой граничной точке считается варьируемой величиной, определяемой из условия скорости сходимости процедуры пересуммирования. На рис.(6) приведены результаты пересуммирования ряда (3) с учетом различных значений  $z_b$  в граничной точке 2.

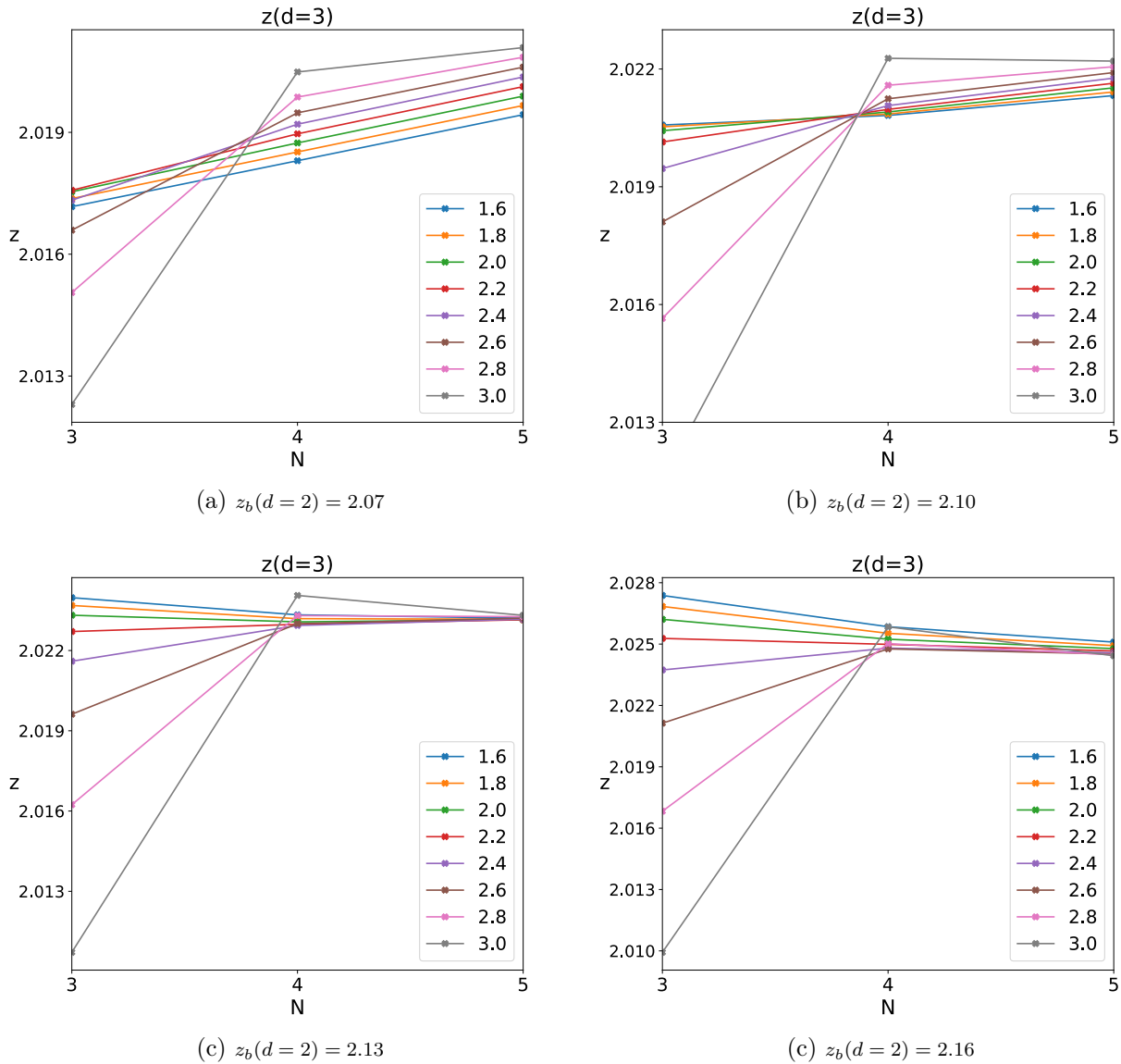


Рис. 6: Пересуммированный индекс  $z$  в  $d=3$  при различных значениях  $z_b$  в граничной точке  $d=2$ .

Из приведенных графиков следует, что учет различных значений в граничной точке качественно сказывается на характере сходимости. Так, на графиках (a) и (b) наблюдается пересечение линий и их дальнейшее расхождение при учете пятипетлевого члена. Интуитивно ясно, что из представленных значений наиболее оптимальным является  $z_b = 2.13$ , обеспечивающее наилучшую сходимость. На рис.(7) для сравнения приведены графики пересуммированного индекса  $z$  с учетом граничного условия и без него. Можно заметить, что при выборе оптимального значения  $z_b$  его учет существенно улучшает скорость сходимости.

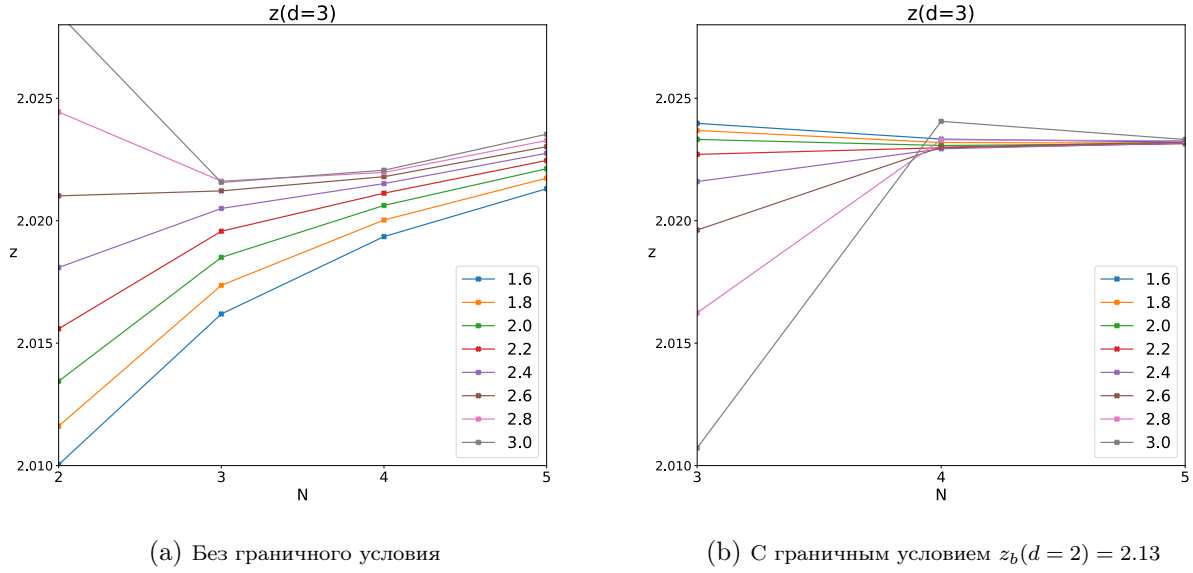


Рис. 7: Сравнение результатов пересуммирования индекса  $z$  в  $d=3$  с учетом граничного условия и без него.

Для поиска оптимального  $z_b$ , как и в случае с  $\nu$ , можно использовать критерий сходимости (20). В этом случае критерий  $Q$  будет функцией двух переменных, а его график на рис. 8 представляет собой поверхность с минимумом, которому соответствуют значения  $\nu$  и  $z_b$ , отвечающие наилучшей сходимости. Выбор граничной точки неприципиален в диапазоне не слишком больших  $\varepsilon$ . Как показала практика, использование значения больше 3 дает результаты, сильно отличающиеся от ожидаемых. Это является следствием того факта, что формально  $\varepsilon$  считается малым параметром, и использование больших его значений ведет к существенной погрешности.

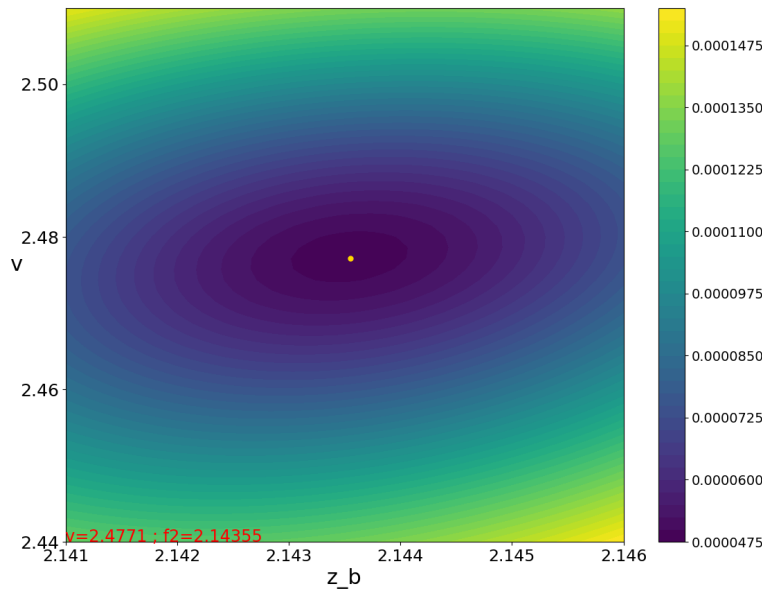


Рис. 8: Критерий сходимости для свободного граничного условия

Для различных граничных точек, кроме очевидного отличия в граничных значениях  $z_b$ , будет иметь место и незначительное различие в определяемых оптимальных  $\nu$ . Поэтому в качестве граничных точек были выбраны несколько значений  $d = \{2.0, 2.5, 3.0\}$ , соответствующие им полученные результаты приведены в Таблице 4. Значения  $\nu$  и  $z_b$ , указанные в таблице в квадратных скобках, для каждого случая определялись с одинаковой точностью  $\pm 0.003$  и  $\pm 0.0003$  соответственно. Отвечающая им погрешность пересуммирования, в отличие от случая одномерного критерия, уже является существенной (указана в таблице в круглых скобках). Стоит отметить, что она связана исключительно с точностью определения минимума критерия, и при достаточно точном обчете может быть сведена до сколь угодно малой величины. Для получения финальных оценок было проведено усреднение как по граничным точкам, так и по точкам счета, выбранным для построения критерия.

граничная точка	точка счета критерия	точка пересуммирования	число учтенных членов $\varepsilon$ -разложения	
			4	5
$d = 2.0$	$d = 3$	$d = 3$	2.02117(2) [1.621, 2.1042]	2.02380(1) [2.476, 2.1436]
$d = 2.5$	$d = 2$	$d = 2$	2.1078(7) [1.626, 2.0549]	2.1446(9) [2.545, 2.0668]
		$d = 3$	2.02147(6) [1.626, 2.0549]	2.02384(4) [2.545, 2.0668]
	$d = 3$	$d = 2$	2.1064(7) [1.649, 2.0544]	2.1453(9) [2.539, 2.0668]
		$d = 3$	2.02136(6) [1.649, 2.0544]	2.0239(4) [2.539, 2.0671]
$d = 3.0$	$d = 2$	$d = 2$	2.1105(3) [1.676, 2.0217]	2.1485(7) [2.660, 2.0240]
Усредненные результаты		$d = 2$	<b>2.1073(1)</b>	<b>2.1457(1)</b>
		$d = 3$	<b>2.0214(2)</b>	<b>2.0239(3)</b>

Таблица 4: Результаты конформ-борелевского пересуммирования индекса  $z$  в четырех- и пятипетлевом приближении с учетом параметра сильной связи  $\nu$  и значения в граничной точке  $z_b$ , найденных из условия минимума критерия сходимости (соответствующие значения указаны в квадратных скобках).

Сравнение результатов, полученных с учетом свободного граничного условия и без него, показывает, что данная модификация конформ-борелевского пересуммирования дает лучшее согласие с оценками индекса  $z$ , полученными в недавних работах [8], [12], [13]. Это говорит как о ее эффективности при расчете этого индекса, так и о возможной обоснованности применения в других моделях, где неизвестны точные значения интересующих величин. Однако нельзя гарантировать, что подобный учет граничных условий существенно улучшит результаты во всех подобных случаях. Так, сами авторы этой идеи отмечают [11], что при расчете статических индексов это не привело к значительным изменениям. Поэтому целесообразность применения данного метода следует анализировать отдельно в каждом случае исходя из получаемых результатов.

## 5 Пересуммирование с использованием статического индекса Фишера

В работе [2] динамический индекс  $z$  был представлен в виде

$$z = 2 + c\eta, \quad (24)$$

где  $c$  - константа связи,  $\eta$  - статический индекс Фишера. Используя четырехпетлевое приближения для  $z$  и полученное в работе [14] разложение для  $\eta$

$$\eta = 0.0185185\varepsilon^2 + 0.01869\varepsilon^3 - 0.00832875\varepsilon^4 + 0.025656\varepsilon^5 - 0.081271\varepsilon^6 + O(\varepsilon^7), \quad (25)$$

в работе [8] для константы  $c$  было получено выражение

$$c = 0.726092(1 - 0.188484\varepsilon + 0.22506\varepsilon^2 + O(\varepsilon^3)). \quad (26)$$

Учитывая тот факт, что коэффициенты ряда малы, можно надеяться, что сложности в анализе ряда перейдут в  $\eta$ , а асимптотические свойства ряда для  $c$  будут менее выражены. Далее авторы с помощью Паде аппроксимации  $[1/1]$  и точных известных значений  $\eta(\varepsilon = 1) = 0.03630$  и  $\eta(\varepsilon = 2) = 1/4$  получили следующие оценки для динамического индекса:  $z = 0.0241$  и  $2.1613$  соответственно.

Используя знание пятипетлевого разложения для  $z$  (3), можно продолжить ряд для константы  $c$ :

$$c = 0.726093(1.000000000 - 0.18845\varepsilon + 0.22503\varepsilon^2 - 0.37874 * \varepsilon^3 + O(\varepsilon^4)). \quad (27)$$

Хотя относительное возрастание последнего коэффициента в (27) по сравнению с предыдущим меньше, чем в исходном разложении (3), ряд (27) необходимо пересуммировать. Для этого были построены аппроксимации Паде, соответствующие им значения приведены в Таблице 5.

	$[1/1]$	$[2/1]$	$[1/2]$
$d = 2$	0.6453	0.6021	0.6075
$d = 3$	0.6506	0.6501	0.6511

Таблица 5: Значения константы  $c$ , полученные Паде аппроксимацией  $\varepsilon$ -разложения (27).

Усредняя полученные оценки для  $c$  по двум аппроксимациям и используя точные значения  $\eta = 1/4$  для  $d=2$  и  $\eta = 0.0362978(20)$  для  $d=3$  [15], для индекса  $z$  в пятипетлевом приближении получаем  $2.1512$  и  $2.0236$  соответственно.

## 6 Обсуждение результатов. Заключение

В данной работе были получены оценки для динамического критического индекса  $z$  с учетом недавно посчитанного пятипетлевого члена его  $\varepsilon$ -разложения [1]. Оно является асимптотическим, поэтому для получения физически осмысленных результатов необходимо использовать различные методы пересуммирования. Нами были применены стандартный метод аппроксимаций Паде, его модификация с учетом  $\varepsilon'$ -разложения и метод конформ-борелевского пересуммирования. Также была получена оценка  $z$  через константу  $c$ , связывающую динамический и статический индексы. Финальные результаты приведены в Таблице 6.

Число учтенных членов $\varepsilon$ -разложения	Паде без учета $\varepsilon'$ -разложения	Паде с учетом $\varepsilon'$ -разложения	Конформ-Борелевское пересуммирование	Через константу связи $c$
4	2.0980	2.1520	2.1073	2.1613
	2.0208	2.0235	2.0214	2.0241
5	2.1300	2.1770	2.1457	2.1512
	2.0231	2.0251	2.0239	2.0236

Таблица 6: Оценки индекса  $z$ , полученные различными методами пересуммирования. Первое число - значение индекса в  $d = 2$ , второе - в  $d = 3$ .

В Таблице 7 приведены оценки индекса  $z$ , полученные в других работах различными методами. Среди прочих в ней представлены результаты нескольких работ, методом исследования которых является численное моделирование динамических систем методом Монте-Карло на решеточных моделях. Долгое время результаты, полученные методом ренормгруппы не стыковались с оценками Монте-Карло - последние заметно отличались в большую сторону.

Ссылка	Метод	$z_{d=2}$	$z_{d=3}$
[16]	RG	2.0842(39)	2.0237(55)
[17]	RG in fixed space	2.124	2.022
[18]	NPRG	2.16(1)	2.09(4)
[19]	Damage spreading method	2.172(6)	2.032(4)
[20]	Monte-Carlo	2.169(3)	
[21]	Monte-Carlo	2.1667(5)	
[22]	Heisenberg model		2.034(22)
[23]	Blume-Capel model		2.020(8)
[8]	Improved Blume-Capel model	-	2.0245(15)

Таблица 7: Оценки индекса  $z$ , полученные методом ренормгруппы и различными вариациями метода Монте-Карло. Первое число - значение индекса в  $d = 2$ , второе - в  $d = 3$ .

Как видно из сранения таблиц, учет пятого члена позволил улучшить согласование оценок, полученных двумя принципиально разными способами. Отдельно стоит выделить улучшение результатов, полученных методом конформ-борелевского пересуммирования, который является требовательным к числу известных членов разложения. Вкупе с использованным способом определения оптимальных значений параметра сильной связи  $\nu$  и значения в граничной точке по критерию сходимости, полученная этим методом оценка индекса  $z$  хорошо согласуется с последними результатами других работ и может считаться надежным результатом. Примененный метод свободного граничного условия заметно ускорил сходимость процедуры пересуммирования, что может говорить о его эффективности в его применении для других моделей, где неизвестны точные значения интересующих величин. Учет  $\varepsilon' = d - 1$  разложения также показал высокую эффективность в уточнении результатов. Особенно сильно это проявляется при учете четырех членов  $\varepsilon$ -разложения, когда подобный способ учета дополнительной информации позволяет получить заметно более точное значение  $z$  по сравнению с другими методами. Это свидетельствует в пользу использования подобных альтернативных разложений при процедуре пересуммирования. Так как расчет шестого коэффициента  $\varepsilon$ -разложения представляет собой сложную вычислительную задачу, полученные результаты могут говорить о целесообразности расчета следующих порядков в  $\varepsilon'$ -разложении.

## Список литературы

- [1] Hnatic M Adzhemyan L Ts, Ivanova EV and Kompaniets MV. Five-loop  $\epsilon$ -expansion of critical exponent  $z$  of model a. *To be published*.
- [2] BI Halperin, PC Hohenberg, and Shang-keng Ma. Calculation of dynamic critical properties using wilson's expansion methods. *Physical Review Letters*, 29(23):1548, 1972.
- [3] R. Bausch, V. Dohm, H.K. Janssen, and R.K.P. Zia. Critical dynamics of an interface in  $1 + \varepsilon$  dimensions. *Physical Review Letttrs*, 47(25):1837–1840, 1981.
- [4] Nikolai Viktorovich Antonov and Aleksandr Nikolaevich Vasil'ev. Critical dynamics as a field theory. *Theoretical and Mathematical Physics*, 60(1):671–679, 1984.

- [5] L Ts Adzhemyan, SV Novikov, and L Sladkoff. Calculation of dynamical exponent in model a of critical dynamics to order  $\varepsilon^4$ . *Vestnik SPbU*, 4(4):109–112, 2008.
- [6] L Ts Adzhemyan, EV Ivanova, MV Kompaniets, and S Ye Vorobyeva. Diagram reduction in problem of critical dynamics of ferromagnets: 4-loop approximation. *Journal of Physics A: Mathematical and Theoretical*, 51(15):155003, 2018.
- [7] M Yu Nalimov, Vladimir Andreevich Sergeev, and L Sladkoff. Borel resummation of the  $\varepsilon$ -expansion of the dynamical exponent  $z$  in model a of the  $\phi^4$  ( $o(n)$ ) theory. *Theoretical and Mathematical Physics*, 159(1):499–508, 2009.
- [8] Martin Hasenbusch. Dynamical critical exponent  $z$  of the three-dimensional ising universality class: Monte carlo simulations of the improved blume-capel model. *Physical Review E*, 101:022126, 2020.
- [9] М. Ю. Налимов and Т. Ю. Новожилова. Асимптотики высоких порядков квантово-полевых разложений и пересуммирование по Борелю асимптотических рядов.
- [10] Juha Honkonen, MV Komarova, and M Yu Nalimov. Large-order asymptotes for dynamic models near equilibrium. *Nuclear Physics B*, 707(3):493–508, 2005.
- [11] Riccardo Guida and Jean Zinn-Justin. Critical exponents of the  $n$ -vector model. *Journal of Physics A: Mathematical and General*, 31(40):8103, 1998.
- [12] Charlie Duclut and Bertrand Delamotte. Frequency regulators for the nonperturbative renormalization group: A general study and the model a as a benchmark. *Phys. Rev. E*, 95:012107, Jan 2017.
- [13] D. Mesterházy, J. H. Stockemer, and Y. Tanizaki. From quantum to classical dynamics: The relativistic  $o(n)$  model in the framework of the real-time functional renormalization group. *Phys. Rev. D*, 92:076001, Oct 2015.
- [14] Mikhail V Kompaniets and Erik Panzer. Minimally subtracted six-loop renormalization of  $o(n)$ -symmetric  $\phi^4$  theory and critical exponents. *Physical Review D*, 96(3):036016, 2017.
- [15] D. Simmons-Duffin. The lightcone bootstrap and the spectrum of the 3d ising cft. *J. High Energy Phys.*, 03:086, 2017.
- [16] AS Krinitsyn, Vladimir Vasil’evich Prudnikov, and Pavel Vladimirovich Prudnikov. Calculations of the dynamical critical exponent using the asymptotic series summation method. *Theoretical and mathematical physics*, 147(1):561–575, 2006.
- [17] K Oerding. The dynamic critical exponent of dilute and pure ising systems. *Journal of Physics A: Mathematical and General*, 28(24):L639–L643, dec 1995.
- [18] Léonie Canet and Hugues Chaté. A non-perturbative approach to critical dynamics. *Journal of Physics A: Mathematical and Theoretical*, 40(9):1937–1949, feb 2007.
- [19] Peter Grassberger. Damage spreading and critical exponents for “model a” ising dynamics. *Physica A: Statistical Mechanics and its Applications*, 214(4):547–559, 1995.
- [20] Jian-Sheng Wang and Chee Kwan Gan. Nonequilibrium relaxation of the two-dimensional ising model: Series-expansion and monte carlo studies. *Phys. Rev. E*, 57:6548–6554, Jun 1998.
- [21] M. P. Nightingale and H. W. J. Blöte. Monte carlo computation of correlation times of independent relaxation modes at criticality. *Phys. Rev. B*, 62:1089–1101, Jul 2000.
- [22] A Astillero and JJ Ruiz-Lorenzo. Off-equilibrium computation of the dynamic critical exponent of the three-dimensional heisenberg model. *arXiv preprint arXiv:1906.04518*, 2019.
- [23] Mario Collura. Off-equilibrium relaxational dynamics with an improved ising hamiltonian. *Journal of Statistical Mechanics: Theory and Experiment*, 2010(12):P12036, dec 2010.